

(1)

FAG 74316 Elektrisitet og magnetisme 2  
Løsningsforslag, eksamen 12. januar 1993

Oppgave 1

a) Maxwell-ligningen

$$\nabla \times \vec{B} = \mu_0 \vec{j} + \frac{1}{c^2} \frac{\partial \vec{E}}{\partial t}$$

kan tolkes som en modifikasjon av Amperes lov

$$\nabla \times \vec{B} = \mu_0 \vec{j} \rightarrow \nabla \times \vec{B} = \mu_0 (\vec{j} + \vec{j}_M)$$

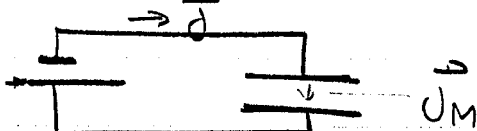
der

$$\vec{j}_M = \frac{1}{\mu_0 c^2} \frac{\partial \vec{E}}{\partial t} = \epsilon_0 \frac{\partial \vec{E}}{\partial t}$$

kalles for Maxwell's fôrskynningsstrøm (tetthet).

Kommentarer:

- i) Dette tilleggsleddet er nødvendig når  $\nabla \cdot \vec{j} \neq 0$ .
- ii) Når en kondensator lades opp vil det gå en reseksjonstrøm i tilførselsledningene, og en fôrskynningsstrøm mellom kondensatorplatene.



- iii) Det er ingen ekte strøm i den forstand at den er assosiert med naen ladningstransport.
- w) Dette leddet girer propagering av elektromagnetiske bølger mulig]

b) De elektromagnetiske feltene kan uttrykkes ved potensialer

$$\vec{E} = -(\nabla \phi + \vec{A}), \quad \vec{B} = \nabla \times \vec{A}$$

Feltene er invariante under justértransformasjoner av potensialene

$$\phi \rightarrow \phi + \frac{\partial \Lambda}{\partial t}, \quad \vec{A} \rightarrow \vec{A} - \nabla \Lambda$$

der  $\Lambda$  er en vilkårlig derivertbar funksjon av tid og rom. Dette kalles justérinvarians,

(2)

generelt

- c) En ladningsfordeling  $g(\vec{x})$  kan karakteriseres på en systematisk måte ved sine (elektriske) multipolmomenter

$$Q = \int d^3x g(\vec{x}) \quad (\text{monopolmoment})$$

$$\vec{P} = \int d^3x \vec{x} g(\vec{x}) \quad (\text{dipolmoment})$$

$$Q^{ij} = \int d^3x (3x^i x^j - x^2 \delta^{ij}) g(\vec{x}) \quad (\text{kvadrupolmoment})$$

- d) Konform avbildning er (blant annet) en metode til å løse 2-dimensjonale potensialproblemer. Metoden er basert på at real- og imaginærdelen til en analytisk funksjon tilfredsstiller Laplace's ligning. Et (vauskelig) potensialproblem med en komplisert rand kan ved en passende konform avbildning transformeres til et ekvivalent problem med enklere rand.

- e) Se på en plan harmonisk lysbølge som brytes og reflekteres ved en plan grenseflate. Innfallende, reflektert og transmittert lysstråle vil ligge i et plan - innfallsplanet.

- Normalpolarisert lys vil si at  $\vec{E}$ -vektoren i lysfellet svinger normalt på innfallsplanet (dvs. parallelt med grenseflaten).
- Parallelpolarisert lys vil si at  $\vec{E}$ -vektoren i lysfellet svinger parallelt med innfallsplanet.

(3)

f) Stokes parametrene er fire reelle parametere som karakteriserer polarisasjons-tilstanden til en (ikke nødvendigvis monokromatisk) lysbolge.

g) Oscillatostyrkene  $f_i$  er størrelser som brukes til å parametrisere de dynamiske egenskapene til et atom eller molekyl i vekselvirking med elektromagnetiske felter. I en enkel klassisk modell er  $f_i$  antallet elektroner i molekylet som er harmonisk bundet med karakteristisk frekvens  $\omega_i$  og demping  $\gamma_i$ . Kvantmekaniske menger ikke  $f_i$  å være heltallig, men summenegelen  $\sum f_i = Z \equiv \#$  elektroner i molekylet skal holde.

h) Maxwell's spenningstensor uttrykker impulsstørrelsen i det elektromagnetiske felt, slik at  $-T^{ij}$  er stromlettheten av "j-impuls" i retning i.

$$T^{ij} = D^i E^j + B^i H^j - \delta^{ij} u_{EM}$$

$$\text{der } u_{EM} = \frac{1}{2} (\vec{E} \cdot \vec{D} + \vec{B} \cdot \vec{H}).$$

Den elektromagnetiske kraften på et legeme V (med rand  $\partial V$ ) er gitt som

$$F^i = \oint_V d\sigma^j T^{ij}$$

På differensiell form

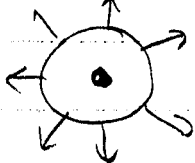
$$\frac{\partial u_{EM}}{\partial t} + f^i = \partial_i T^{ji}.$$

(4)

- i) Pga strålingsreaksjonen vil  $\gamma$  en ladning som slippes løs i et harmoniskt potensial undergå dempning. Den vil derfor ikke stråle på en sharp frekvenslinje  $\omega_0$ , men over et frekvensspekket rundt  $\omega_0$ . Halverdi-bredden av dette spekket kallas for naturlig linjebredde.
- j) Rayleighspredding er spredding av lys på atomer og molekyler. Ved lave frekvenser har spreedingstverrsnittet oppførselen
- $$\sigma \sim \left(\frac{\omega}{\omega_0}\right)^4$$
- Dette er f.eks. årsaken til at himmelen er blå og solnedgangen rød,
- k) Synkrotronstråling er stråling fra relativistiske ladete partikler. Opprinnelig fra sirkulær bevegelse i en synkrotron, men i dediserte fasiliteter (som Grenoble) fra mer kompliserte bevegelsesmonstre (førårsaket av f.eks. "wiggler" magneter).

(5)

Oppgave 2

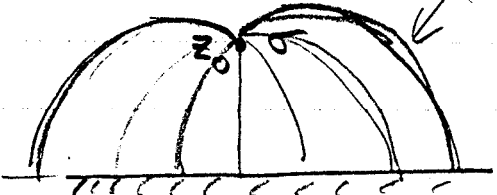
a)  Gauss' lov på integral form:

$$2\pi r L E(r) = \frac{\sigma L}{\epsilon_0} \Rightarrow E(r) = \frac{\sigma}{2\pi\epsilon_0 r} \quad (\text{for } r > r_0 = 25 \mu\text{m})$$

$$= 0 \quad (\text{for } r < r_0)$$

$$\tilde{\Phi}(r) = \tilde{\Phi}(r_0) - \int_{r_0}^r dr' E(r')$$

$$= -\frac{\sigma}{2\pi\epsilon_0} \ln\left(\frac{r}{r_0}\right) + \tilde{\Phi}(r_0)$$

b) 

Ved komplekse koordinater  $(x, y) \rightarrow z$

$$\tilde{\Phi}(z) = \frac{-\sigma}{2\pi\epsilon_0} \ln \left| \frac{z-z_0}{z-\bar{z}_0} \right|$$

$$\begin{aligned} z_0 &= (0, +y_0) \\ \bar{z}_0 &= (0, -y_0) \quad y_0 = 1 \text{ cm} \end{aligned}$$

Kommentar: Man kan vise at ekvipotensial-flatene blir sirkler (og feltlinjene følger sirkelbuer),

c)  $r_0 = |z-z_0| \ll |z-\bar{z}_0| \Rightarrow$

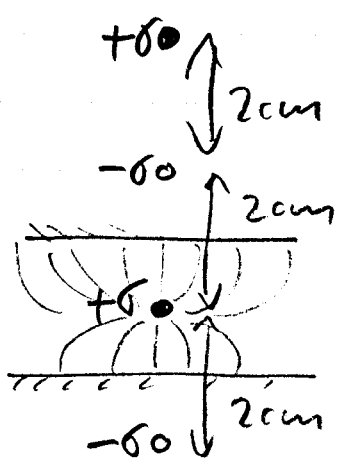
$$\tilde{\Phi} \sim \frac{\sigma}{2\pi\epsilon_0} \ln\left(\frac{r_0}{2y_0}\right)$$

$$r_0 = 25 \mu\text{m}, 2y_0 = 2 \text{ cm}, \tilde{\Phi} = 4000 \text{ V} \Rightarrow$$

$$\sigma = -\frac{2\pi\epsilon_0 \tilde{\Phi}}{\ln(r_0/2y_0)} = \frac{2\pi \cdot 8.85 \cdot 10^{-12} \cdot 4 \cdot 10^3}{\ln\left(\frac{2000}{2.5}\right)} = 3.33 \cdot 10^{-8}$$

(6)

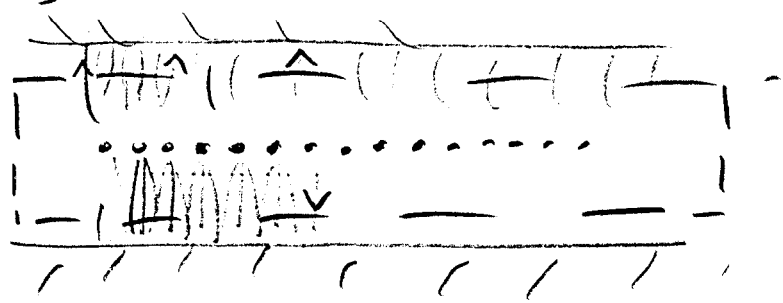
d)



En linje med  
uendelig antall speilladninger  
av alternasjonsende fortegn. Avstand  
2 cm

+σ₀

e)



Feltet vil være  
tilnærmet konstant  
av styrke

$$E \approx \frac{4000 V}{1 \text{ cm}} = 4 \cdot 10^5 \frac{\text{V}}{\text{m}}$$

i  $\pm y$ -retningen,

(star) (star)

Vi legger en eske av bredde  $B$  og lengde  $L$   
rundt linjeladningene. Gauss lov gir  
da

$$2E \cdot L \cdot B \approx \frac{\sigma \cdot N(B)}{\epsilon_0} L$$

der  $N(B) = \frac{B}{2 \text{ mm}}$  er antallet linjer innen  
eskens.

Dg

$$\sigma = \frac{2 \epsilon_0 E \cdot 2 \text{ mm}}{L} = 2 \cdot 8.85 \cdot 10^{-12} \cdot 4 \cdot 10^5 \cdot 2 \cdot 10^{-3}$$

$$= 1.417 \cdot 10^{-6}$$

(7)

Oppgave 3

a)  $g(\vec{x}, t) = -e \delta(\vec{x} - \vec{r}_e(t))$

$\vec{j}(\vec{x}, t) = -e \vec{v}_e(t) \delta(\vec{x} - \vec{r}_e(t))$

der

$\vec{r}_e(t) = R \left[ \cos\left(\frac{\omega t}{R}\right) \hat{e}_x + \sin\left(\frac{\omega t}{R}\right) \hat{e}_y \right]$

$\vec{v}_e(t) = \omega \left[ -\sin\left(\frac{\omega t}{R}\right) \hat{e}_x + \cos\left(\frac{\omega t}{R}\right) \hat{e}_y \right]$

og  $e \approx 1.6 \cdot 10^{-19} C$  er partikkelens ladning

ved kjernenes negeler:

$\frac{\partial g(\vec{x}, t)}{\partial t} = e \frac{d\vec{r}_e}{dt} \nabla_{\vec{x}} \delta(\vec{x} - \vec{r}_e(t)) = -\vec{\nabla} \cdot \vec{j}(\vec{x}, t)$

b)  $g(\vec{k}, t) = -e \int d^3x g(\vec{x}, t) e^{-i\vec{k} \cdot \vec{x}} = -e e^{-i\vec{k} \cdot \vec{r}_e(t)}$

$\vec{j}(\vec{k}, t) = -\vec{v}_e(t) \int d^3x g(\vec{x}, t) e^{-i\vec{k} \cdot \vec{x}} = -e \vec{v}_e(t) e^{-i\vec{k} \cdot \vec{v}_e(t)}$

c)  $\vec{r}_e(t), \vec{v}_e(t)$  er periodiske med frekvens

$\omega = \omega_1 = \frac{\omega}{R}$

Vi vil få stråling på denne frekvensen, og dens over-harmoniske

$\omega_n = n\omega_1$

Dipolapproksimasjonen er generelt god når kildens utstrekning (her  $R$ ) er mye mindre enn strålingsens bølgelengde (her  $\frac{c}{\omega_1} = \frac{cR}{n\omega}$ ). Altså bør vi ha

$\frac{n\omega}{c} \ll 1 \quad \text{spesielt } \frac{\omega}{c} \ll 1$

(Når  $n\omega/c \ll 1$  vil også stråling på høyere harmoniske bli undertrykt)

(8)

$$d) \quad \vec{j}(\vec{k}, \omega) = \int dt e^{i\omega t} \vec{j}(\vec{k}, t)$$

$$\cong -e \int dt e^{i\omega t} \vec{v}_e(t)$$

Vi införer kompleks representeringen  
för  $\vec{v}_e(t)$ :

$$\vec{v}_e(t) = \operatorname{Re} e^{-i\omega_1 t} (\hat{e}_y - i\hat{e}_x)$$

os finner (i kompleks rep.)

$$\begin{aligned} \vec{j}(\vec{k}, \omega) &= \underbrace{-ev(\hat{e}_y - i\hat{e}_x)}_{= \vec{j}(\vec{k})} 2\pi \delta(\omega - \omega_1) \end{aligned}$$

$$\underline{j_\perp^c} = (\delta^{cl} - n^c n^l) j^l$$

$$= -ev [(\delta^{c2} - n^c n^2) - i(\delta^{c1} - n^c n^1)] 2\pi \delta(\omega - \omega_1)$$

[Eventuellt i reell representeringen:

$$\vec{j}(\vec{k}, \bar{\omega}) = -\pi ev [(\delta(\omega - \omega_1) + \delta(\omega + \omega_1)) \hat{e}_y - i(\delta(\omega - \omega_1) - \delta(\omega + \omega_1)) \hat{e}_x]$$

$$\begin{aligned} j_\perp^c(\vec{k}, \omega) &= -\pi ev [(\delta(\omega - \omega_1) + \delta(\omega + \omega_1)) (\delta^{c2} - n^c n^2) \\ &\quad - i(\delta(\omega - \omega_1) - \delta(\omega + \omega_1)) (\delta^{c1} - n^c n^1)] \end{aligned}$$

(8)

c) Enklast vissn. er å bruke formelen for utsirkelt effekt fra ikke-relativistisk akselerert partikkelf

$$P = \frac{e^2}{6\pi\epsilon_0 C^3} a^2 \quad \text{der } a^2 = \frac{v^4}{R^2},$$

Fra føresidende uttrykk manges

$$|\vec{j}_\perp|^2 = \vec{j}_{IR}^2 + \vec{j}_{II}^2.$$

$$\begin{aligned} \vec{j}_{IR}^2 &\propto \delta^{i2} \delta^{i2} - 2(\hat{n}^2)^2 + (\hat{n}^2)^2 = 1 - (\hat{n}^2)^2 \\ &= 1 - \sin^2 \vartheta \sin^2 \varphi \end{aligned}$$

$$\begin{aligned} \vec{j}_{II}^2 &\propto \delta^{i1} \delta^{i1} - 2(\hat{n}^1)^2 + (\hat{n}^1)^2 = 1 - (\hat{n}^1)^2 \\ &= 1 - \sin^2 \vartheta \cos^2 \varphi \end{aligned}$$

$$\Rightarrow |\vec{j}_\perp|^2 \propto 2 - \sin^2 \vartheta = 1 + \cos^2 \vartheta$$

Prefaktoren er  $(ev)^2$ , derav

$$\frac{dP}{d\Omega} = \frac{\mu_0 w_0^2}{32\pi^2 C} (ev)^2 (1 + \cos^2 \vartheta) \quad w_0 = \frac{v}{R}$$

$$\int d\Omega (1 + \cos^2 \vartheta) = 2\pi \cdot \left(2 + \frac{2}{3}\right) = \frac{16\pi}{3} \Rightarrow$$

$$\underline{P = \frac{\mu_0 e^2 v^4}{6\pi C R^2} = \frac{e^2 v^4}{6\pi \epsilon_0 C^3 R^2}}$$

(10)

f) Utvikt effekt = Friksjonsstopp

$$\mathcal{P} = \nu F_r$$

$$\Rightarrow \underline{F_r} = \frac{\mathcal{P}}{\nu} = \underline{\frac{e^2}{6\pi\epsilon_0 R^2} \left(\frac{\nu}{C}\right)^3}$$

redet mot bevegelsen.